

# 베타 및 감마線 計測用 서어베이 미터

## (Beta Gamma Survey Meter)

朴 實 用\* · 李 炳 璞\*\*

(Park, In Yong) (Lee, Byung Suhn)

### 要 約

G-M 計數管을 利用한 beta 와 gamma 線에 敏感한 survey meter 에 關한 研究이다. 이 裝置는 完全 transistor 化 되어 있으며 乾電池로 動作하게 되어 있고 2.5, 25 및 250 MR/HR 의 3 가지의 full-scale meter range 를 直讀하게 되어 있다.

Counting-rate meter 回路을 이루고 있는 collector 結合 單安定 multivibrator 와 電源回路의 dc-dc 變換器를 이루고 있는 無安定 blocking 發振器의 解析을 하였고 設計式을 誘導하였다. G-M 計數管의 分解時間은 높이기 為하여 0.5v 程度의 낮은 電壓으로 triggering 할 수 있게 設計하였다.

### Abstract

A survey meter which is used a G-M counter sensitive to beta and gamma radiation is studied. This device is completely transistorized, operated with battery, and can be read directly the 3 full-scale meter range; 2.5, 25, and 250 MR/HR respectively.

The collector-coupled monostable multivibrator consisting of a counting-rate meter circuit, and the astable blocking oscillator consisting of a dc-dc converter for power supply are analyzed and derived the design equations. To improve the resolving time of the G-M counter the device is designed to be triggered by low pulse in the order of 0.5v.

### 1. 序 論

이 G-M 計數管(Geiger-Müller counter tube)을 利用한 bata( $\beta$ )와 gamma( $\gamma$ )線에 敏感한 survey meter 는 가볍고 携帶用이고 乾電池로 動作하는 放射線計測裝置이다. 이 裝置는 選擇 스위치로 選擇함에 따라 2.5, 25 및 250 millir-entgens per hour(MR/HR)의 3 가지 full-scale meter range 를 直讀할 수 있다. MR/HR range

는 實驗室에서  $\text{Co}^{60}$  的  $\gamma$  線을 使用하여 矯正되었. 다.

G-M 計數管에 放射線이 들어 왔을 때 電子回路의 入力端에서의 pulse 의 높이는一般的으로 1v 또는 그 以上이다. 그리하여一般的으로 計數率計回路(counting-rate meter circuit)의 前段에는 적어도 一段程度의 pulse 增幅器와 pulse 整形回路(pulse-shaping circuit)가 必要하다. 여기서는 裝置를 最大限으로 簡單하게 하기 위하여 pulse 增幅器를 使用하지 않고 計數率計回路를 0.5v 程度의 낮은 pulse 로 trigger 하여 計數할 수 있도록 設計하였다. 그러면 G-M 計數管에 있어서 普通

\*,\*\* 原子力研究所 電子工學研究室, 正會員 Electronics Division, Atomic Energy Research Institute  
接受日字: 1971年 3月 8日

100~200  $\mu\text{sec}$  的 不感時間(dead time) 다음에 나타나는 200~300  $\mu\text{sec}$  的 回復時間(recovery time) 사이에 들어 오는 放射線에 依하여 자라 나는 낮은 pulse도 計數할 수 있게 되어 G-M 計數管의 分解時間(resolving time)이 向上된다.

G-M 計數管은  $\beta$  線 遮蔽 window가 있어서  $\gamma$  線만을 檢出할 때에는 이 window를 닫고서 测定한다. 이 window는  $\beta$  線의 에너지가 約 1 mega-electron volt (MeV)까지를 遮蔽한다.  $\beta$  線이나  $\beta$  線과  $\gamma$  線을 같이 测定할 때에는 window를 열고서 测定한다. 電源電池는 電壓이 1.5v인 乾電池 BA30 3個를 使用하여 直流-直流變換器(dc-dc converter)를 構成하여 必要한 低電壓과 高電壓을 얻고 있다. 所要電流는 12.5mA로 大端히 적다. case에는 probe를 附着시킬 수 있게 하였고 벨방을 낼수 있게 하여 携帶에 便利하도록 하였다.

이 survey meter는 一般的의 放射線計測에는勿論 放射線物質의 探鑽에도 利用할수 있다.

## 2. 全體的의 回路動作

全體的의 survey meter의 構成圖를 그림 1에 表示한다. G-M 計數管과 回路는  $\beta$  또는  $\gamma$  線이 G-M 計數管에 들어가면 하나의 負의 電壓 pulse를 發生한다. 이 負의 pulse는 monostable multivibrator를 trigger 시킨다. 入力 pulse가 없을 때 安定狀態에서 cutoff인 transistor의 collector에 連結된 Meter에는 multivibrator가 trigger 될 때마다 電流가 흐르게 된다. Meter回路에 連結된 하나의 平滑 capacitor는 이 電流를 平均해서 meter의 指示가 入力 pulse의 平均計數率에

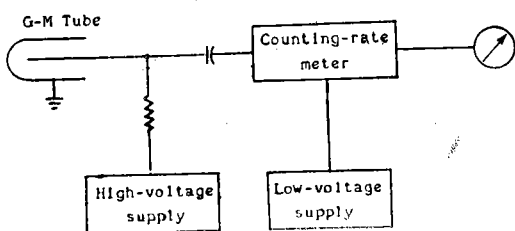


그림 1. Survey meter의 構成圖

Fig. 1. Block diagram of a survey meter.

比例하게 된다. Meter의 눈금은 MR/HR로 矯正되었다.

## 3. G-M 計數管과 入力回路

G-M 計數管과 入力回路를 그림 2에 表示한다. G-M 計數管이 Geiger 領域에서 動作할 때 放射線이 G-M 計數管內의 gas를 ion化하여 放電할 때마다 두 端子사이에 電荷를 發生한다. 그리하여 G-M 計數管의 中心線의 電位를 瞬間的으로 降下시켜 分布容量 Cd를 部分的으로 放電시킨다. 그리고 Cd는 G-M 計數管의 負荷抵抗  $R_{13}$  및  $R_1$ 의 並列抵抗과 Cd의 積으로 되는 時定數 Cd ( $R_{13} \parallel R_1$ )로  $R_{13}$ 을 通하여 初期電荷로 再充電된다. 이리하여  $R_{13}$ 의 兩端에는 負의 pulse가 形成된다. Coupling capacitor이며 高電壓 blocking capacitor인  $C_1$ 의 容量은 Cd보다 大端히 크므로, 入力 pulse에 對하여는 短絡이 된다. 이 pulse는  $C_1$ 을 通하여 monostable multivibrator의 transistor  $Q_1$ 의 collector로 傳達된다.

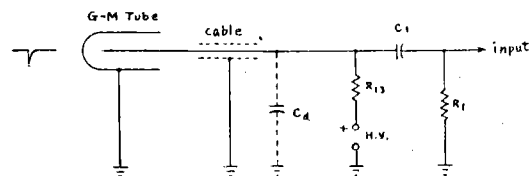


그림 2. 入力回路

Fig. 2. Input circuit

## 4. 計數率計回路

計數率計의 基本回路는 그림 3에 表示한 collector結合單安定 multivibrator(collector-coupled monostable multivibrator)이다.  $Q_2$ 는 그 base가  $R$ 를 通하여  $V_{cc}$ 에 連結되어 있으므로 入力 trigger pulse가 들어 오기 前의 安定狀態(Stable state)에서 on이고  $Q_1$ 은 off이다. 負의 入力 trigger pulse가 들어 오면 diode  $D_1$ 은 forward bias되어 入力 pulse가  $Q_1$ 의 collector에 傳達된다. 그리하여  $Q_1$ 은 on이 되고  $Q_2$ 는 off가 되어 準安定狀態(quasi-stable state)가 된다.  $Q_1$ 이 on인 동안에는  $D_1$ 은 reverse bias되고  $Q_1$

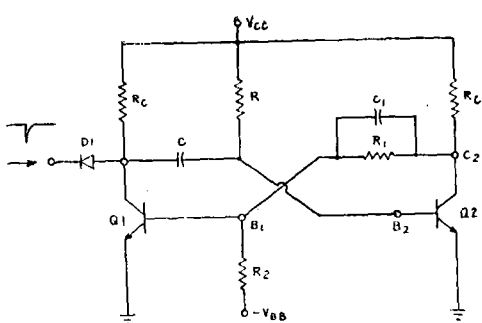
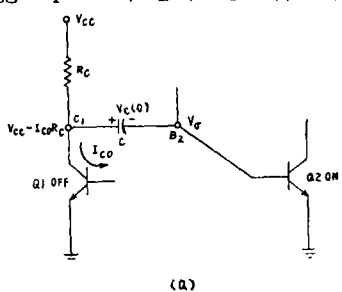


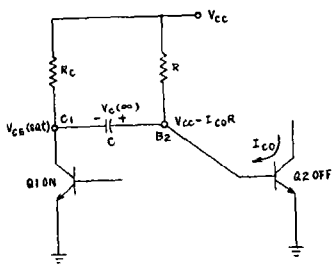
그림 3. Collector 結合 單安定 multivibrator

Fig. 3. Collector-coupled monostable multivibrator.

collector 를 入力回路에서 孤立시킨다. C의 電荷가 放電함에 따라 이 큰 負의 電壓은 指數的으로 上昇하여 OV를 지나 cutin 電壓  $V\gamma$ 가 되면 Q2는 다시 on 으로 되고 Q1은 off 로 되어 安定狀態로 回復한다. 그림 4(a)에 表示하는 바와 같이 安定狀態에서 Q2는 on 이고 그 base 電壓은 base-to-emitter saturation 電壓  $V\sigma$ 이다. 한편 Q1은 off 이고 그 collector 電壓은  $V_{cc}-I_{co}R_c \approx V_{cc}$  이고 capacitor C의 兩端의 電壓은  $V_{cc}-V\sigma$ 이다. 入力 trigger pulse가 들어오는 瞬間에 Q1은 on



(a)



(b)

그림 4. Q1 및 Q2의 두 狀態  
(a) 安定狀態, (b)  $t=\infty$  때Fig. 4. Two states of Q1 and Q2  
(a) in the stable state; (b) at the time  $t=\infty$ 

이 되고 그 collector 電壓은 collector-to-emitter saturation 電壓  $V_{ce}(\text{sat})$ 로 떨어진다. Capacitor 兩端의 電壓은 瞬間的으로 變할 수 없으므로 Q2의 base 電壓  $v_{B2}$  도  $V_{cc}-V_{ce}(\text{sat})-V\sigma$ 로 떨어진다. 따라서

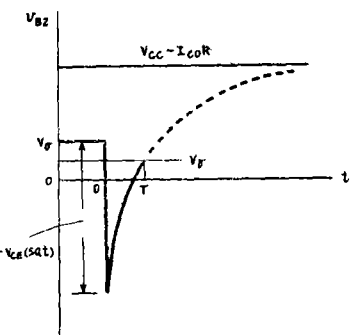
$$v_{B2}(0+) = -(V_{cc}-V_{ce}(\text{sat})-V\sigma) \quad (1)$$

그림 4(b)에 표시하는 바와 같이

$t=\infty$ 에서 Q2의 base 電壓은

$$v_{B2}(\infty) = V_{cc}-I_{co}R \quad (2)$$

準安定狀態期間中의  $B_2$  點의 電壓  $v_{B2}$  的 變化하는 모양을 그림 5에 表示한다.

그림 5. 準安定狀態期間中의  $B_2$  點의 電壓  $v_{B2}$ 의 變化Fig. 5. Voltage variation at  $B_2$  during the quasi-stable state.

따라서  $B_2$  點의 電壓의 時間에 對한 變化  $v_{B2}$ 는

$$v_{B2}(t) = v_{B2}(\infty) + [v_{B2}(0+) - v_{B2}(\infty)]e^{-t/\tau} \quad (3)$$

여기에서  $\tau = (R+R_o)C \approx RC$  이다.  $R_o$ 는 準安定狀態에서 on 되어 있는 Q1의 出力抵抗이다. C가 R 와 on 되어 있는 Q1을 通하여 放電함에 따라 Q2의 reverse base 電壓은 적어져서 어떤 時間後에는 OV가 되고 이어서 正으로 되며 cutin 電壓인  $V\gamma$ 가 되면 Q2는 時間  $T$ 에서 다시 on 이 된다. 그리하여 (3)에서  $t=T$ 로 令으면

$$T = \tau \ln \frac{v_{B2}(\infty) - v_{B2}(0+)}{v_{B2}(\infty) - v_{B2}(T)} \quad (4)$$

$$= RC \ln \frac{2V_{cc}-I_{co}R-V_{ce}(\text{sat})-V\sigma}{V_{cc}-I_{co}R-V\gamma} \quad (5)$$

여기서  $V\gamma$  를 無視하면

$$T = RC \ln \left( 1 + \frac{V_{cc}-V_{ce}(\text{sat})-V\gamma}{V_{cc}-I_{co}R} \right) \quad (6)$$

常温에서  $I_{CO}$  를 無視하고  $V_{CC} \gg V_{CE(sat)} + V\sigma$

이므로

$$T \approx 0.69RC \quad (7)$$

또한

$$C = \frac{T}{R} \frac{1}{\ln(1 + \frac{V_{CC} - V_{CE(sat)} - V\sigma}{V_{CC} - I_{CO}R})} \quad (8)$$

$$\text{또는 } C \approx \frac{T}{0.69R} \quad (9)$$

回路가 安定狀態로 되자마자 C는 充電을 始作 한다. 充電은  $t = T +$  때의 等價回路인 그림 6에서 와 같이  $R_C$  와 base spreading抵抗  $r_{bb}'$  를 通하여 함으로 時定數  $\tau_1$  은

$$\begin{aligned} \tau_1 &= (R_C + r_{bb}')C \\ &\approx R_C C \end{aligned} \quad (10)$$

$I_{CO}$  的 效果를 無視하면 Q1의 collector 電壓이 0.9  $V_{CC}$  로 되는 時間  $t_1$  은

$$t_1 = 2.3R_C C \quad (11)$$

i) 回復時間後에 비로소 또 다른 trigger pulse 를印加할 수 있다. 그림 6에서

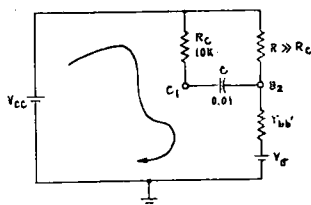


그림 6.  $t = T +$  때의 C의充電通路를 表示하는 等價回路

Fig. 6. Equivalent circuit showing the charging path of C at  $t=T+$

$$t_1 = (2.3)(10 \times 10^3)(0.01 \times 10^{-6})$$

$$= 23 \mu \text{sec}$$

여기에 C는 3개의 timing capacitor 中 中間 것을 擇하였다. 그런데 G-M 計數管의 分解時間 (resolving time)은 普通 數百  $\mu \text{sec}$  이므로 C가 充電을 完了한 아주 後에 또 다른 pulse 가 들어온다는 것을 알수 있다. 이것은 C가 充電을 完了하기 前에 commutating capacitor C1이 充電을 完了한다는 假定下에서 適用되는 것이다. 回路가 安定狀態로 된 後에 C1은 그림 7에 表示한 充電回路를 通하여 時定數  $\tau_2$  를 充電한다. 여기에  $R_o$

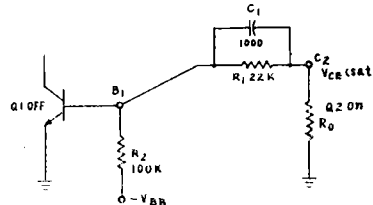


그림 7. C1의充電通路를 表示하는 等價回路

Fig. 7. Equivalent circuit showing the charging path of C1.

는 on 되어 있는 Q2의 出力抵抗이다.  $R_o \ll R_2$  이므로

$$\tau_2 = C_1 \frac{R_1 R_2}{R_1 + R_2} \quad (12)$$

그리고 Q1의 base 의 reverse base 電壓은 undershoot를 거쳐서 安定值가 된 後에 비로소 入力 trigger pulse 的 影響을 받게 된다. 이 安定值  $V_F$  는 그림 7에서 重疊의 理를 適用하여

$$v_{B1} = -\frac{V_{BB} R_1}{R_1 + R_2} + \frac{V_{CE(sat)} R_2}{R_1 + R_2} = V_F \quad (13)$$

$$R_1 = 22K, R_2 = 100K, -V_{BB} = -12V \text{ 및}$$

$$V_{CE(sat)} = 0.3V \text{ 면}$$

$$\begin{aligned} V_F &= -\frac{(12)(22)}{22+100} + \frac{(0.3)(100)}{22+100} \\ &= -1.9V \end{aligned}$$

結果的으로  $\tau_1 > \tau_2$  가 되어야 할 것이며 C1도 이 條件을 滿足하도록 決定한다. 그림 6과 7에서  $R_C = 10K$ ,  $C = 0.01\mu\text{F}$  및  $C_1 = 1000\text{pF}$  이므로 (10) 과 (12)에 依하여

$$\tau_1 = (10 \times 10^3)(0.01 \times 10^{-6}) = 100 \mu \text{sec}$$

$$\tau_2 = (1000 \times 10^{-12}) \frac{(22)(100)(10^3)}{22+100}$$

$$= 18 \mu \text{sec}$$

따라서  $\tau_1 > \tau_2$  를 滿足한다.

簡略하게 그린 計數率計 回路를 그림 8에 表示 한다. Q1 이 on 이 되어 collector 電壓이 낮아지면 C2는 充電을 한다. pulse 와 pulse 사이에는 C2는  $R_6$  과 meter의 内部抵抗  $R_m$  的 並列抵抗과  $R_2$  를 通하여 放電을 한다. 時定數는  $C_2(R_2 + R_6 // R_m)$ 로 表示된다. 萬一 이 時定數가 pulse 間隔보다 길면 meter는 pulse 的 反復率의 平均을 指示할 것이다.

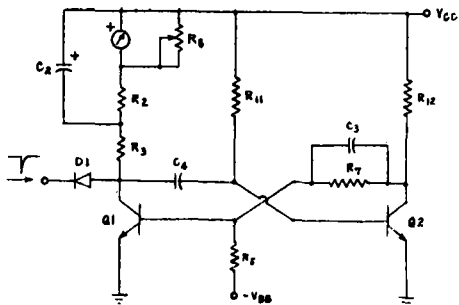


그림 8. 簡略하게 그린 計數乘計回路

Fig. 8. Simplified circuit of the counting-rate meter.

## 5. 電 源 回 路

計數率計에 必要한 直流低電壓과 G-M 計數管에 必要한 直流高電壓의 두 가지 電壓을 얻기 위하여 그림 9에 表示하는 無安定 blocking 發振器(astable blocking oscillator)로 發振시켜 昇壓하고 整流시켜서 必要한 直流電壓을 얻었다. Blocking 發振器를 動作시키기 위한 電源은 乾池 BA 30 3個를 使用하여 4.5V 를 하였다.

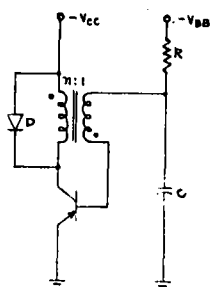


그림 9. 無安定 blocking 發據器

Fig. 9. An astable blocking oscillator

Pulse 間隔  $T$ , 사이에 即 transistor 가 on 인 동안에 capacitor C는 그림 10에 表示하는 바와같이 正의 方向으로 即 transistor 가 off 되는 方向으로 充電된다. 正饋還作用으로 transistor 는 急速히 off 가 된다. Transistor 가 完全히 cut off 가 되면 C는 R를 通하여 時定數 RC로 放電되고 base 電壓도 낮아져서 OV가 되고 이어서 Cutin 電壓인  $-V_T$  가 되면 또 다른 pulse 를 發生한다.

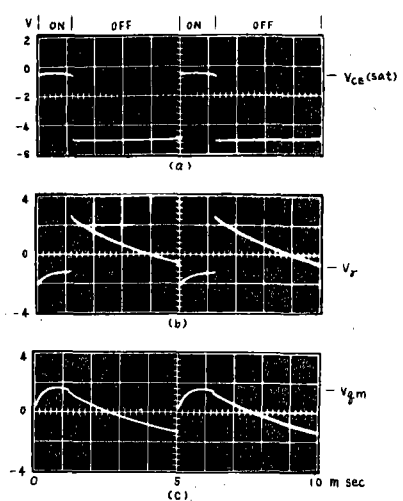


그림 10. 그림 9의 無安定 blocking 發振器의 波形  
 (a) collector; (b) base; (c) capacitor

**Fig. 10.** Waveforms of astable blocking oscillator of Fig. 9 (a) collector; (b) base; (c) capacitor.

Transistor 가 on 이 되는 瞬間에 pulse 變壓器  
 2次電壓은 미쳐  $\frac{V_{cc}}{n}$  로 成長하지 못 한다. 여  
 기서  $n = \frac{N_1}{N_2}$  이다. 그리하여 base 는 純全히 C  
 의 電壓에 依存한다. Peak negative base 電壓  
 $V_{bm}$  과 이 때에 흐르는 peak base 電流  $I_{bm}$  은 각  
 각

$$V_{bm} = -\frac{V_{cc}}{n} \quad (14)$$

$$I_{bm} = -\frac{V_{cc}}{n\gamma_{bb}'} \quad (15)$$

여기에  $r_{bb'}$ 는 transistor의 base spreading抵抗이다. 計算目的으로 이 電流는 全 pulse間隔사이에 一定하다고 假定한다.  $I_{bm}$ 은 C를 通하여 흐르므로 電壓變化는

$$\Delta V = -\frac{1}{C} I_{bm} \Delta t \quad (16)$$

여기에서  $\Delta t$ 는 pulse 간격  $T_p$ 이다. 그리하여 C는

$$\Delta V = V_{qm} \quad (17)$$

로充電된다.

全 pulse 間隔에 걸쳐서一定한 base 電流를 維持하기 為하여는 capacitor 電壓의 變化는 pulse 變壓器 2次電壓에 比하여 적어야 할 것이다. 即

$$V_{q_m} \ll \frac{V_{cc}}{n} \quad (18)$$

(15), (16), (17) 및 (18)에 依하여 制限條件은

$$C \gg \frac{dt}{\gamma_{bb}} \quad (19)$$

Cutoff 사이에 C는  $V_{q_m}$ 에서  $-V_{BB}$  方向으로 時定數 RC로 放電한다. 그리고 base 電壓은  $V_{q_m}$ 에서 OV로 減少한다. 따라서 base 電壓  $v_b(t)$ 는

$$v_b(t) = -V_{bb} + (V_{q_m} + V_{BB}) e^{-t/RC} \quad (20)$$

로 表示되며

$$t = RC \ln \frac{V_{q_m} + V_{BB}}{v_b(t) + V_{BB}} \quad (21)$$

그리하여 pulse 사이의 間隔 T 即 off 時間은

$$T = RC \ln \frac{V_{q_m} + V_{BB}}{V_{BB}} \quad (21)$$

C의 電壓變化가 pulse 變壓器의 2次電壓變化와 같다고 하면

$$V_{q_m} = \frac{V_{cc}}{n} \quad (23)$$

(23)을 (22)에 代入하면

$$T = RC \ln \left( 1 + \frac{V_{cc}}{nV_{BB}} \right) \quad (24)$$

여기서 使用한 回路와 같이  $n=1$  이고  $V_{BB}=V_{cc}$  면

$$T = 0.69 RC \quad (25)$$

Transistor 가 cutoff 인 사이의 間隔 T를 조금 더 詳細히 解析하면 다음과 같다. Transistor가 off 가 되는 瞬間인  $t=0$  때에 C는  $V_{q_m}$ 로 充電되어 있다고 假定하면  $v_b(t)$ 의 初期值  $v_b(O+)$ 는

$$V_b(O+) = V_{q_m} \quad (26)$$

이고 그림 11에 依하여

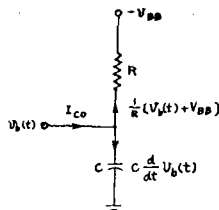


그림 11. Transistor 가 off 때의 RC回路의 電流方向

Fig. 11. Current directions of the RC circuit when the transistor is off.

$$-I_{CO} + \frac{1}{R} [v_b(t) + V_{BB}] + C \frac{d}{dt} v_b(t) = 0 \quad (27)$$

여기서  $I_{CO}$ 는 transistor 的 collector cutoff 電流이다. (27)의 Laplace transform 을 하면

$$\begin{aligned} & \frac{1}{S} (V_{BB} - I_{CO}R) + V_b(s) (1 + RCS) \\ & - RC v_b(O+) = 0 \\ V_b(s) &= \frac{V_{q_m}}{S + \frac{1}{RC}} - \frac{V_{BB} - I_{CO}R}{S(1 + RCS)} \\ &= \frac{V_{q_m} + V_{BB} - I_{CO}R}{S + \frac{1}{RC}} - \frac{V_{BB} - I_{CO}R}{S} \end{aligned} \quad (28)$$

Inverse Laplace transform 을 하면

$$\begin{aligned} v_b(t) &= (V_{q_m} + V_{BB} - I_{CO}R) e^{-t/RC} \\ & - (V_{BB} - I_{CO}R) \end{aligned} \quad (29)$$

$$t = RC \ln \frac{V_{q_m} + V_{BB} - I_{CO}R}{v_b(t) + V_{BB} - I_{CO}R} \quad (30)$$

여기서  $I_{CO}$ 를 無視하면 (21)과 一致한다. 그림 9에서 transistor 가 saturation에서 cutoff로 되는 瞬間에 diode D가 없으면 變壓器의 collector捲線에 誘起되는 逆起電力때문에 供給電壓  $-V_{cc}$  보다도 더 負로 되어 이 電壓이 collector의 reverse collector 破壞電壓보다 크면 transistor는 破壞될 念慮가 있다. 또한 이 電壓은 變壓器의 base捲線에도 誘起되어 emitter-base 接合도 破壞될 念慮가 있다.

그렇지 않더라도 過度한 ringing이 생기어 出力波形을 좋지 않게 하기도 한다. 그러나 變壓器의 collector捲線에 limitting diode를 달음으로써 collector cutoff 電壓을  $-V_{cc}$ 로 制限하고 ringing을 防止할 수 있다.

完全한 電源回路를 그림 12에 表示한다. 低電壓은 無安定 blocking 發振器의 出力を  $C_{14}$ ,  $D_6$ ,  $D_7$  및  $C_{13}$ 으로 되는 倍壓回路 倍壓하여  $R_{11}$ 과  $C_{12}$ 로 되는 filter回路로 더 平滑하게 하였고 高電壓은 無不安定 blocking 發振器의 出力を  $C_{10}$ ,  $C_{11}$ ,  $D_2$ ,  $D_3$ ,  $D_4$ ,  $D_5$ ,  $C_8$  및  $C_9$ 로 되는 4倍壓回路로 4倍壓하여 電壓安定管으로 安定化하였고 다시  $R_8$ 과  $C_7$ 로 되는 filter回路로 더 平滑하게 하였다. 이 電壓은  $R_{17}$ 을 調整함으로써 調整할 수도 있다.勿論 예 때에는 電壓安定管도 이 電壓에 맞는 것을 使用해야 할 것이다. 低電壓은 計數率計에 使

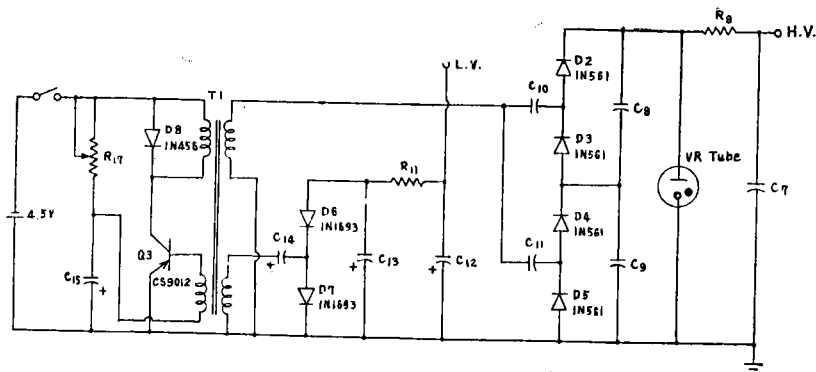


그림 12. 電 源 回 路

Fig. 12. power supply.

用하는 transistor에 따라 決定되어 10V 程度이

고 高電壓은 使用하는 G-M 計數管에 必要한 電  
壓에 따라 決定되어 700V 또는 900V 程度이다.

電源電池의 電壓이 3V 以下로 떨어지면 電壓安定管에 흐르는 電流가 그 最下電流인  $10\mu A$  以下가 되어 電壓安定管이 더 이상 作用하지 않게 된다. 따라서 乾電池의 電壓이 3V 로 떨어지면 乾電池의 壽命은 다된 것이다.

## 6. 全體回路의 構成

入力回路와 計數率計回路 및 電源回路를 綜合하여 全體回路를 構成한 survey meter 回路를 그림 13에 表示한다. 그리고 製作完成한 survey meter 의 寫眞을 그림 14와 15에 表示한다.

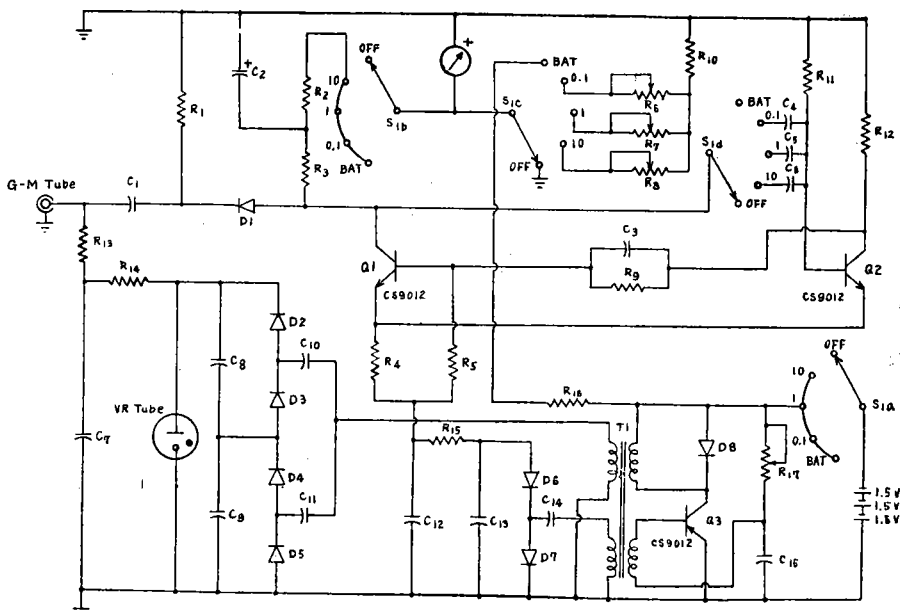


그림 13. Survey meter 回路

**Fig 13.** Survey meter circuit.

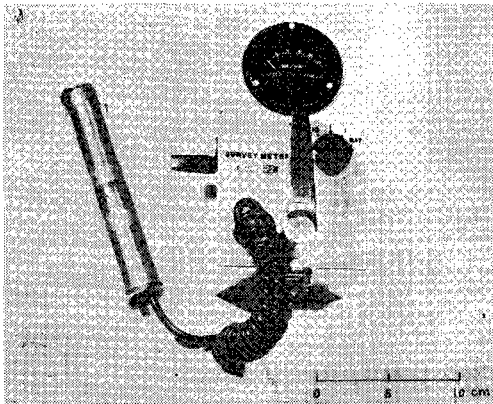


그림 14. 開發된 survey meter

Fig. 14. Survey Meter.

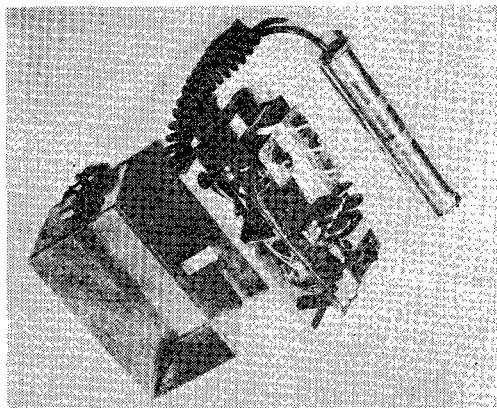


그림 15. 開發된 survey meter 의 内部.

Fig. 15. Inside view of survey meter.

## 7. 結 論

o) G-M 計數管을 利用한 survey meter 는 完全 transistor 化되어 簡便하고 가벼우며 安定하게動作시킬 수 있다. 放射線量의 計測은 0에서 2.5, 0에서 25, 0에서 250 MR/HR 까지 3個 領域에 걸

쳐서 測定할 수 있다. 所要電流는 12.5mA 로 大端히 낮아서 小型의 乾電池로도 200時間 以上 繼續 動作시킬 수 있다.

o] survey meter 는 一般的인 放射線計測에는勿論 放射線物質의 探査에도 利用할 수 있다.

## 參 考 文 獻

1. W.J. Price, Nuclear Radiation Detection, 2nd edition, McGraw-Hill, 1964.
2. J. Millman, and H. Taub; Pulse, Digital and Switching Waveforms, McGraw-Hill, 1965.
3. M. V. Joyce, and K. K. Clarke, Transistor Circuit Analysis, Addison-Wesley, 1961.
4. D. J. Hamilton, A Transistor Pulse Generator for Digital Systems, IRE Transactions on Electronic Computers, EC-7, no. 3, pp. 244-249, September, 1958.
5. J. J. Rolfe, Designing a Common-emitter Blocking Oscillator, Electronic Industries, vol. 20, no. 7, pp. 110-114, July, 1961.
6. P. Norman, and E. J. E. Smith, The Design of Transistor Blocking Oscillators, Proc. IEE(London), pt. B, vol. 106, no. 18, pp. 1251-1259, May, 1959.
7. J. G. Linvill, and R. H. Mattson, Junction Transistor Blocking Oscillator, Proc. IRE, vol. 43, no. 11, pp. 1632-1639, November, 1955.
8. J. A. Narud, and M. R. Aaron, Analysis and Design of a Transistor Blocking Oscillator Including Inherent Nonlinearities, Bell System Tech. J., vol. 38, no. 3, pp. 785-852, 1959.